

# 扇面波导及其腔体的格林函数\*

吕善伟

(北京航空航天大学,北京 100083)

**摘要** 文中介绍了扇面直波导及其腔体中电矢量位和磁矢量位的格林函数,采用分离变量法、傅里叶变换法和留数定理导出了格林函数的具体表达式。

**关键词** 扇面波导;扇面波导腔;电矢量位格林函数;磁矢量位格林函数

## 1. 引言

扇面直波导横截面的两个宽边为长度、半径不等的圆弧,两个窄边是长度相等的垂直于宽边的直线。扇面波导能与圆柱体完全共形,用于传输能量、设计共形缝隙天线、缝隙阵列和馈电系统。扇面波导天线在圆柱体上没有任何突起部分所以不影响气动特性。应用扇面波导及其器件和天线时,需要了解波导中场及其激励问题,本文利用分离变量法、傅里叶变换法和留数定理推导扇面直波导及其腔体中格林函数,给出最终结果,为讨论扇面波导及其元件、缝隙天线提供方便。

## 2. 磁矢量位格林函数 $\bar{G}_m$

扇面波导和扇面波导腔体示意图如图1和图2所示。图中标出了文中采用的圆柱坐标和有关几何尺寸。

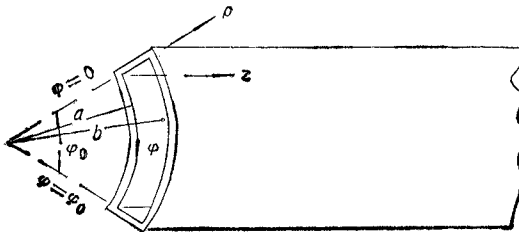


图1 扇面波导示意图

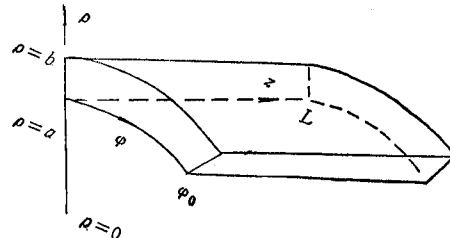


图2 扇面波导腔体示意图

矢量位格林函数在圆柱坐标系的波动方程为

$$\left( \frac{1}{\rho} \frac{\partial}{\partial \rho} \rho \frac{\partial}{\partial \rho} + \frac{1}{\rho^2} \frac{\partial^2}{\partial \varphi^2} + \frac{\partial^2}{\partial z^2} + k^2 \right) \left\{ \begin{array}{l} \bar{G}_m \\ \bar{G}_e \end{array} \right\} = -I \frac{\delta(\rho - \rho') \delta(\varphi - \varphi') \delta(z - z')}{\rho} \quad (1)$$

1991.08.12 收到, 1991.10.10 定稿。

\* 国家自然科学基金资助课题。

吕善伟 男, 1937年出生, 教授, 从事电磁场与微波技术的教学和研究工作。

在理想金属表面上满足

$$\hat{n} \times \bar{\mathbf{G}}_m = 0, \quad \hat{n} \cdot \nabla \times \bar{\mathbf{G}}_m = 0 \quad (2)$$

$$\hat{n} \cdot \bar{\mathbf{G}}_e = 0, \quad \hat{n} \times \nabla \times \bar{\mathbf{G}}_e = 0 \quad (3)$$

各式中  $k^2 = \omega^2 \mu \epsilon$ ,  $\hat{n}$  为边界法向单位矢量,  $\bar{\mathbf{G}}_m, \bar{\mathbf{G}}_e$  分别为磁、电矢量位并矢格林函数,  $\bar{\mathbf{I}}$  为单位并矢。

(1) 式包含  $\bar{\mathbf{G}}_m$  或  $\bar{\mathbf{G}}_e$  的三个分量的标量波动方程。各分量可根据各自的边界条件求解波动方程获得。对于扇面直波导假定伸向无限远, 满足辐射条件, 我们对  $z$  坐标采用傅里叶变换<sup>①</sup>, 即令

$$\tilde{G} = \int_{-\infty}^{\infty} G \exp(jtz) dz \quad (4)$$

则(1)式的一个标量方程变成

$$\begin{aligned} & \left[ \frac{1}{\rho} \frac{\partial}{\partial \rho} \rho \frac{\partial}{\partial \rho} + \frac{\partial^2}{\rho^2 \partial \varphi^2} + (k^2 - t^2) \right] \tilde{G} \\ &= -\frac{\delta(\rho - \rho') \delta(\varphi - \varphi') \exp(jtz')}{\rho} \end{aligned} \quad (5)$$

利用(5)式并根据(2)式的边界条件便能确定  $\bar{\mathbf{G}}_m$  的各分量。

(1)  $G_m^{\rho\rho}$

令

$$\tilde{G}_m^{\rho\rho} = \sum_p Z_p(\rho) \sin(\nu_p \varphi), \quad \nu_p = \frac{p\pi}{\phi_0}, \quad p = 1, 2, \dots \quad (6)$$

代入(5)式并利用正弦函数的正交性, 可得

$$\begin{aligned} & \left[ \frac{1}{\rho} \frac{\partial}{\partial \rho} \rho \frac{\partial}{\partial \rho} + (\chi^2 - \nu_p^2 / \rho^2) \right] Z_p(\rho) \\ &= -\frac{2\delta(\rho - \rho')}{\phi_0 \rho} \sin(\nu_p \varphi') \exp(jtz') \end{aligned} \quad (7)$$

式中

$$\chi^2 = k^2 - t^2 \quad (7a)$$

我们通过求解一个新的  $g$  的方程, 利用积分获得(7)式的解,  $g$  方程为

$$\left[ \frac{1}{\rho} \frac{\partial}{\partial \rho} \rho \frac{\partial}{\partial \rho} + (\chi^2 - \nu_p^2 / \rho^2) \right] g = -\delta(\rho - \rho') \quad (8)$$

当  $\rho \neq \rho'$  时,  $g$  满足齐次波动方程, 对于  $\nu_p$  为整数, 容易得到  $g$  的通解; 利用  $\rho = \rho'$  时  $g$  连续和(2)式的边界条件确定通解的部分系数; 再由  $g$  的一阶导数在  $\rho = \rho'$  处跃变  $-1$ , 确定其余系数。最后得到

$$g = AD [J_{\nu_p}(\chi\rho)N'_{\nu_p}(\chi\rho_{ba}) - J'_{\nu_p}(\chi\rho_{ba})N_{\nu_p}(\chi\rho)] \quad (9)$$

式中

$$D = \begin{vmatrix} J_{\nu_p}(\chi\rho') & N_{\nu_p}(\chi\rho') \\ J'_{\nu_p}(\chi\rho_{ba}) & N'_{\nu_p}(\chi\rho_{ba}) \end{vmatrix} \quad (9a)$$

$$A = -\frac{\pi \rho'}{2D'}, \quad D' = \begin{vmatrix} J_{\nu_p}(\chi b) & N'_{\nu_p}(\chi b) \\ J'_{\nu_p}(\chi a) & N'_{\nu_p}(\chi a) \end{vmatrix} \quad (9b)$$

在波导内不同区域,  $\rho_{ab}$  和  $\rho_{ba}$  对应不同的值, 即

$$\rho \begin{cases} < \rho' \\ > \rho' \end{cases}, \quad \rho_{ab} = \begin{cases} a \\ b \end{cases}, \quad \rho_{ba} = \begin{cases} b \\ a \end{cases} \quad (10)$$

利用  $g$  函数通过积分得到(7)式的解  $Z_p$

$$\begin{aligned} Z_p &= \int g \left[ -\frac{2}{\phi_0 \rho'} \sin(\nu_p \varphi') \exp(jt z') \right] d\rho' \\ &= -\frac{\pi}{\phi_0} \sin(\nu_p \varphi') \exp(jt z') \frac{D}{D'} [J_{\nu_p}(\chi \rho) N'_{\nu_p}(\chi \rho_{ab}) \\ &\quad - J_{\nu_p}(\chi \rho_{ba}) N_{\nu_p}(\chi \rho)] \end{aligned} \quad (11)$$

把(11)式代到(6)式中, 并注意到  $D' = 0$  为它的极点, 进行反傅氏变换, 利用留数定理得到  $G_m^{\rho \rho}$

$$\begin{aligned} G_m^{\rho \rho} &= \frac{1}{2\pi} \int_{-\infty}^{\infty} \tilde{G}_m^{\rho \rho} \exp(-jt z) dt \\ &= \sum_p \sum_q \frac{j\pi \chi_{pq}}{\phi_0 \sqrt{k^2 - \chi_{pq}^2}} \sin(\nu_p \varphi') \sin(\nu_p \varphi) \frac{D}{D'} [N'_{\nu_p}(\chi_{pq} \rho_{ab}) J_{\nu_p}(\chi_{pq} \rho) \\ &\quad - J'_{\nu_p}(\chi_{pq} \rho_{ab}) N_{\nu_p}(\chi \rho)] \exp(-j\sqrt{k^2 - \chi_{pq}^2} |z - z'|) \end{aligned} \quad (12)$$

其中

$$D'' = a \begin{vmatrix} J'_{\nu_p}(\chi_{pq} b) & N'_{\nu_p}(\chi_{pq} b) \\ J'_{\nu_p}(\chi_{pq} a) & N'_{\nu_p}(\chi_{pq} a) \end{vmatrix} - b \begin{vmatrix} J'_{\nu_p}(\chi_{pq} a) & N'_{\nu_p}(\chi_{pq} a) \\ J'_{\nu_p}(\chi_{pq} b) & N'_{\nu_p}(\chi_{pq} b) \end{vmatrix} \quad (12a)$$

$\chi_{pq}$  是  $D' = 0$  的第  $q$  个根.

## (2) $G_m^{\varphi \varphi}$

$G_m^{\varphi \varphi}$  的边界条件与  $G_m^{\rho \rho}$  的不同, 它随  $\varphi$  的变化规律应为  $\cos(\nu_p \varphi)$ ,  $\rho = a$  或  $b$  时  $G_m^{\varphi \varphi} = 0$ . 但仍可利用处理  $G_m^{\rho \rho}$  的过程求解, 最后得到

$$\begin{aligned} G_m^{\varphi \varphi} &= -\frac{j\pi}{2\phi_0} \sum_p \sum_q \frac{\chi_{pq} \varepsilon_{op}}{\sqrt{k^2 - \chi_{pq}^2}} \cos(\nu_p \varphi') \cos(\nu_p \varphi) \frac{D_1}{D'_1} \\ &\times [N_{\nu_p}(\chi_{pq} \rho_{ab}) J_{\nu_p}(\chi_{pq} \rho) - J_{\nu_p}(\chi_{pq} \rho_{ab}) N_{\nu_p}(\chi_{pq} \rho)] \\ &\exp(-j\sqrt{k^2 - \chi_{pq}^2} |z - z'|) \end{aligned} \quad (13)$$

其中

$$D'_1 = a \begin{vmatrix} J_{\nu_p}(\chi_{pq} b) & N_{\nu_p}(\chi_{pq} b) \\ J_{\nu_p}(\chi_{pq} a) & N'_{\nu_p}(\chi_{pq} a) \end{vmatrix} - b \begin{vmatrix} J_{\nu_p}(\chi_{pq} a) & N_{\nu_p}(\chi_{pq} a) \\ J_{\nu_p}(\chi_{pq} b) & N'_{\nu_p}(\chi_{pq} b) \end{vmatrix} \quad (13a)$$

$$D_1 = \begin{vmatrix} J_{\nu_p}(\chi_{pq} \rho') & N_{\nu_p}(\chi_{pq} \rho') \\ J_{\nu_p}(\chi_{pq} \rho_{ba}) & N_{\nu_p}(\chi_{pq} \rho_{ba}) \end{vmatrix}, \quad \varepsilon_{op} = \begin{cases} 1, & p = 0 \\ 2, & p \neq 0 \end{cases} \quad (13b)$$

$\chi_{pq}$  是  $J_{\nu_p}(\chi b) N_{\nu_p}(\chi_{pq} a) - J_{\nu_p}(\chi_{pq} a) N_{\nu_p}(\chi_{pq} b) = 0$  的第  $q$  个根.

(3)  $G_e^{zz}$ 

$\rho = a$  或  $b$  时  $G_m^{zz}$  与  $G_m^{\varphi\varphi}$  的边界条件相同,  $\varphi = 0$  或  $\varphi_0$  时  $G_m^{zz}$  与  $G_m^{\rho\rho}$  的边界条件相同, 于是可直接由  $G_m^{\varphi\varphi}$  的结果得到

$$G_m^{zz} = G_m^{\varphi\varphi}|_{\cos \varphi \rightarrow \sin \varphi} \quad (14)$$

最后得

$$\bar{G}_m = \hat{\rho}\hat{\rho}G_m^{\rho\rho} + \hat{\varphi}\hat{\varphi}G_m^{\varphi\varphi} + \hat{z}\hat{z}G_m^{zz} \quad (15)$$

磁矢量位格林函数可用于分析各种形式的电激励问题, 例如沿  $\rho$  向伸入金属波导中的金属探针, 利用  $G_m^{\rho\rho}$  的结果容易分析它的激励场和匹配特性等.

3. 电矢量位格林函数  $\bar{G}_e$ 

采用求解磁矢量位并矢格林函数  $\bar{G}_m$  的方法和过程, 从(1)式出发根据边界条件(3)式, 能够求出  $\bar{G}_e$  的三个分量.

(1)  $G_e^{\rho\rho}$ 

$$G_e^{\rho\rho} = \frac{-j\pi}{2\phi_0} \sum_p \sum_q \frac{\varepsilon_{\rho\rho} \chi_{pq}}{\sqrt{k^2 - \chi_{pq}^2}} \sin(\nu_p \varphi') \sin(\nu_p \varphi) \frac{D_1}{D'_1} \\ \times [N'_{\nu_p}(\chi_{pq} \rho_{ab}) J_{\nu_p}(\chi_{pq} \rho) - J'_{\nu_p}(\chi_{pq} \rho_{ab}) N_{\nu_p}(\chi_{pq} \rho)] \\ \times \exp(-j\sqrt{k^2 - \chi_{pq}^2} |z - z'|) \quad (16)$$

对于  $\varphi' = 0$  或  $\varphi_0$  的波导侧壁上  $\rho$  向磁流源, 相当于侧壁上  $\rho$  向窄缝隙, 此时  $G_e^{\rho\rho} = 0$ .

(2)  $G_e^{\varphi\varphi}$ 

$G_e^{\varphi\varphi}$  解的形式与  $G_m^{\rho\rho}$  相同. 对于  $\rho = a$  或  $b$  的波导宽面上缝隙天线, 如图 3 所示, 磁流限于  $\rho' = a$  或  $b$  的面上, 此时

$$G_e^{\varphi\varphi} = \sum_p \sum_q \frac{j2 \sin(\nu_p \varphi') \sin(\nu_p \varphi)}{\phi_0 \sqrt{k^2 - \chi_{pq}^2}} \frac{1}{D''} \\ \times [N'_{\nu_p}(\chi_{pq} \rho_{ab}) J_{\nu_p}(\chi_{pq} \rho) - J'_{\nu_p}(\chi_{pq} \rho_{ab}) N_{\nu_p}(\chi_{pq} \rho)] \\ \times \exp(-j\sqrt{k^2 - \chi_{pq}^2} |z - z'|) \quad (17)$$

(3)  $G_e^{zz}$ 

对应图 3 中  $\rho' = a$  或  $b$  上窄缝隙的纵向磁流源

$$G_e^{zz} = \sum_{p=0} \sum_{q=1} \frac{j\varepsilon_{\rho\rho}}{\phi_0 \sqrt{k^2 - \chi_{pq}^2}} \cos(\nu_p \varphi') \cos(\nu_p \varphi) \frac{1}{D''} \\ \times [N'_{\nu_p}(\chi_{pq} \rho_{ab}) J_{\nu_p}(\chi_{pq} \rho) - J'_{\nu_p}(\chi_{pq} \rho_{ab}) N_{\nu_p}(\chi_{pq} \rho)] \\ \times \exp(-j\sqrt{k^2 - \chi_{pq}^2} |z - z'|) \quad (18)$$

$\varphi' = 0$  或  $\varphi_0$  时

$$G_e^{zz} = \sum_{p=0} \sum_{q=1} \frac{(\pm 1)^p j \varepsilon_{\rho\rho} \pi \chi_{pq}}{2\phi_0 \sqrt{k^2 - \chi_{pq}^2}} \cos(\nu_p \varphi) \frac{D}{D''} \cdot [N'_{\nu_p}(\chi_{pq} \rho_{ab}) J_{\nu_p}(\chi_{pq} \rho) \\ - J'_{\nu_p}(\chi_{pq} \rho_{ab}) N_{\nu_p}(\chi_{pq} \rho)] \exp[-j\sqrt{k^2 - \chi_{pq}^2} |z - z'|] \quad (19)$$

式中  $(\pm)^p$  分别对应  $\varphi' = 0$  和  $\varphi_0$ .

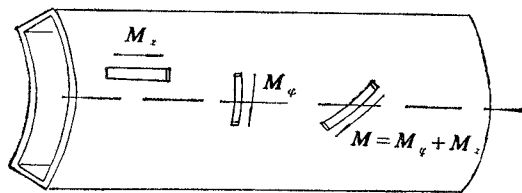


图 3 扇面波导辐射缝隙示例

#### 4. 扇面波导腔的格林函数

为了书写简便, 把格林函数表示为

$$G = \sum_q \sum_p \sum_l Z_q(\rho) \Phi_p(\varphi) \mathcal{Z}_l(z) \quad (20)$$

并令

$$\int_0^L \mathcal{Z}^2(z) dz = 1 \quad (21)$$

$Z_q(\rho)$  和  $\Phi_p(\varphi)$  解的形式与前两节有关公式相同, 只需求出  $\mathcal{Z}_l(z)$  便可得到  $G$ .

$$G_m^{pp} = \sum_q \sum_p \sum_l Z_{mq}^{pp}(\rho) \Phi_{mp}^{pp}(\varphi) \frac{\epsilon_{ol}}{L} \sin\left(\frac{l\pi}{L} z'\right) \sin\left(\frac{l\pi}{L} z\right)$$

$$G_m^{pq} = \sum_q \sum_p \sum_l Z_{mq}^{pq}(\rho) \Phi_{mp}^{pq}(\varphi) \frac{\epsilon_{ol}}{L} \sin\left(\frac{l\pi}{L} z'\right) \sin\left(\frac{l\pi}{L} z\right)$$

$$G_m^{zz} = \sum_q \sum_p \sum_l Z_{mq}^{zz}(\rho) \Phi_{mp}^{zz}(\varphi) \frac{\epsilon_{ol}}{L} \cos\left(\frac{l\pi}{L} z'\right) \cos\left(\frac{l\pi}{L} z\right)$$

$$G_e^{pp} = \sum_q \sum_p \sum_l Z_{eq}^{pp}(\rho) \Phi_{ep}^{pp}(\varphi) \frac{\epsilon_{ol}}{L} \cos\left(\frac{l\pi}{L} z'\right) \cos\left(\frac{l\pi}{L} z\right)$$

$$G_e^{pq} = \sum_q \sum_p \sum_l Z_{eq}^{pq}(\rho) \Phi_{ep}^{pq}(\varphi) \frac{\epsilon_{ol}}{L} \cos\left(\frac{l\pi}{L} z'\right) \cos\left(\frac{l\pi}{L} z\right)$$

$$G_e^{zz} = \sum_q \sum_p \sum_l Z_{eq}^{zz}(\rho) \Phi_{ep}^{zz}(\varphi) \frac{\epsilon_{ol}}{L} \sin\left(\frac{l\pi}{L} z'\right) \sin\left(\frac{l\pi}{L} z\right)$$

$$\epsilon_{ol} = \begin{cases} 1, & l = 0 \\ 2, & l \neq 0 \end{cases}$$

#### 参 考 文 献

- [1] 陈敬熊, 李桂生著: 电磁场理论中的直接法与积分方程法, 科学出版社, 北京, 1987年, 第2章
- [2] Y.Rahmat-samii, IEEE Trans. on MTT, MTT-23(1975)9, 762—809

## THE GREEN'S FUNCTIONS IN SECTORAL WAVEGUIDE AND ITS CAVITY

Lü Shanwei

(Beijing University of Aeronautics and Astronautics, Beijing 100083)

**Abstract** The Green's functions for electric and magnetic vector potentials in a sectoral wave guide and its cavity are derived by using the separation of variables, Fourier transform and residue theory.

**Key words** Sectoral waveguide; Cavity; Electric potential Green's function; Magnetic potential Green's function